

Variabilita a adaptibilita člověka



Doc. Václav Vančata

Evolve a diversita rodu Homo



Variabilita populační i časová



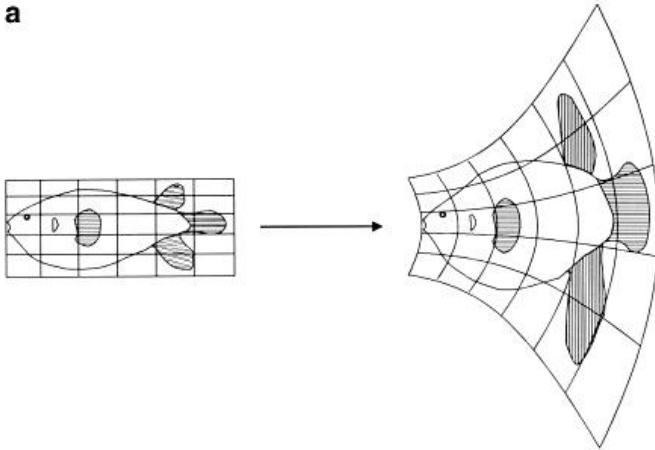
časová

populační

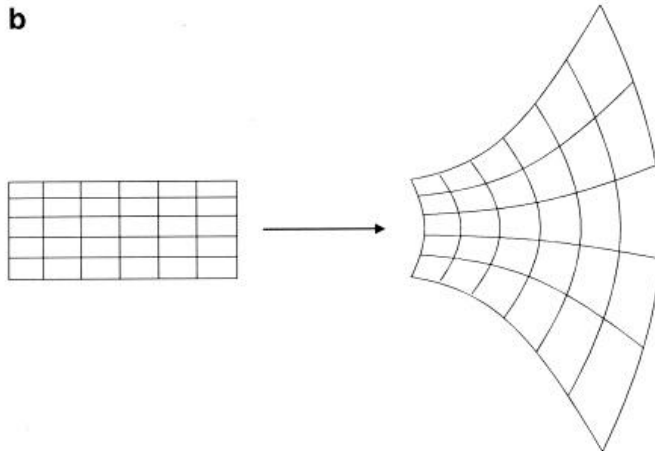


Tvarové změny nebo vývojové trendy?

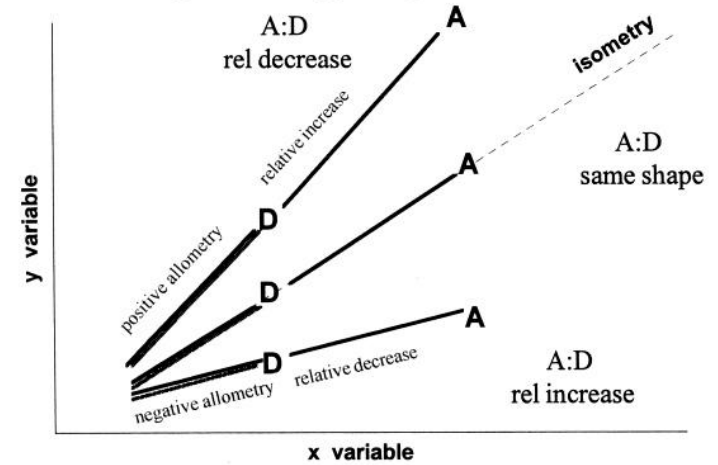
a



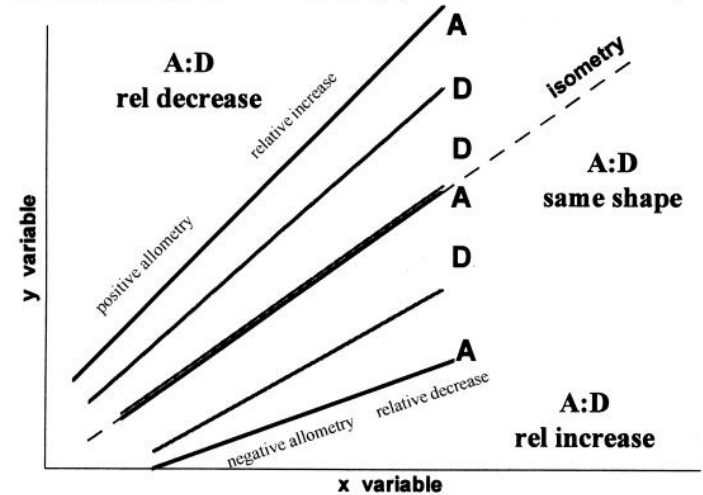
b



A. Paedomorphosis via Hypomorphosis



B. Paedomorphosis via Neoteny (Allometries dissociated)



Isometrie a alometrie (heterochronie) Jsou lineární změny reálný fenomén?

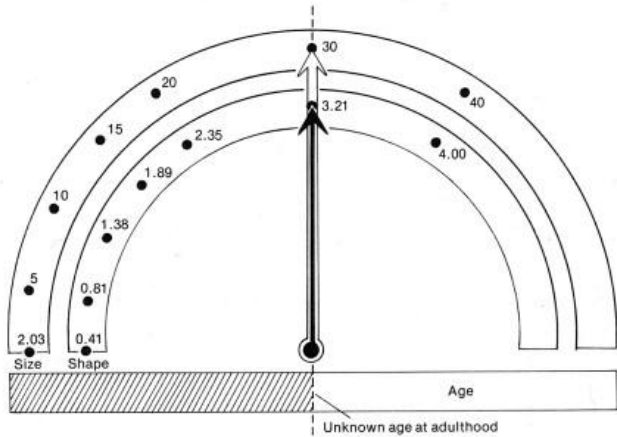


Fig. 34. Scales of the clock model calibrated for *Gryphaea* problem of Table 4. Adulthood is chosen for the standardized stage of midline values. All ancestral markers lie on the midline for ancestral adulthood.

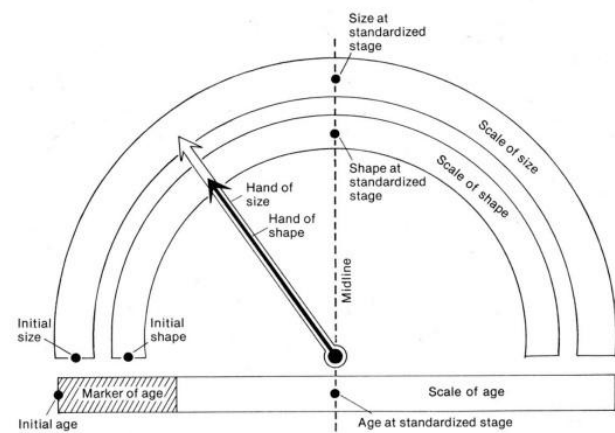
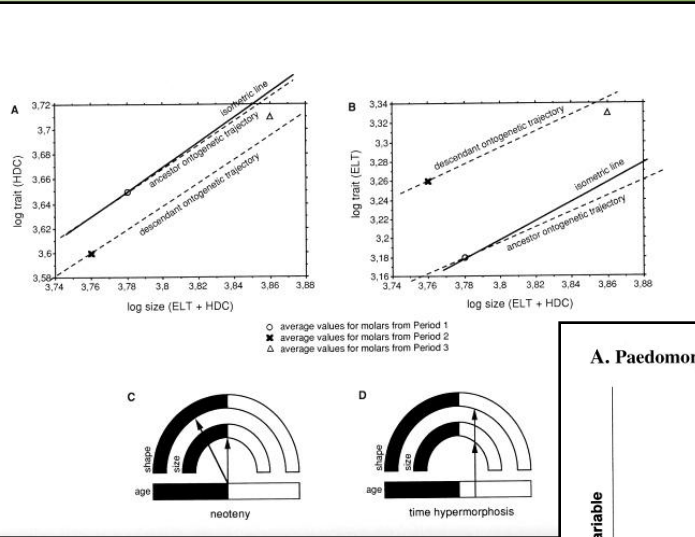
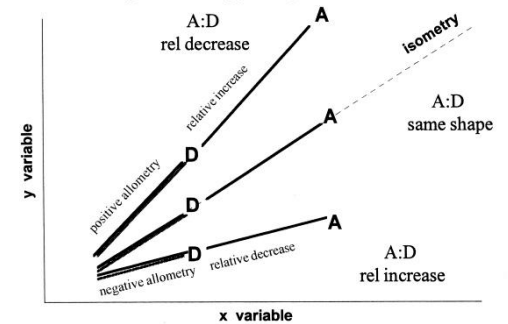


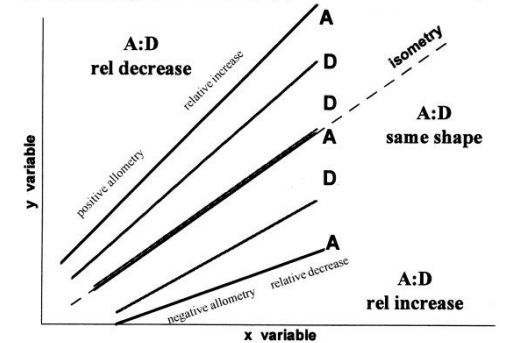
Fig. 33. Framework for clock model of heterochrony, showing scales of size, shape, and age.



A. Paedomorphosis via Hypomorphosis



B. Paedomorphosis via Neoteny (Allometries dissociated)



Ontogeneze a fylogeneze

Fig. 39. Continued

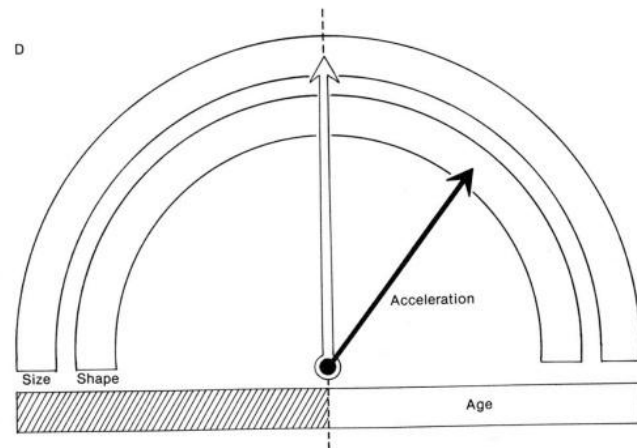
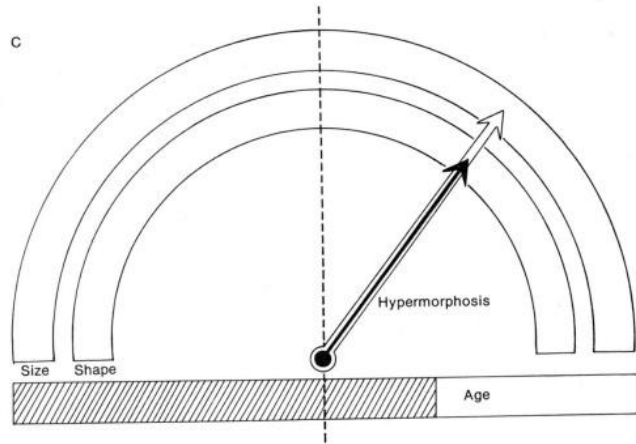
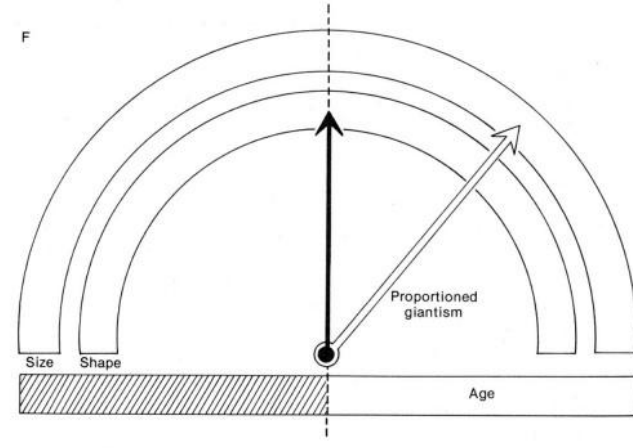
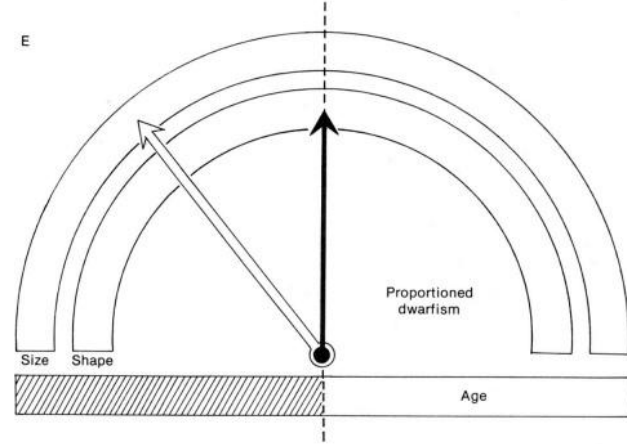
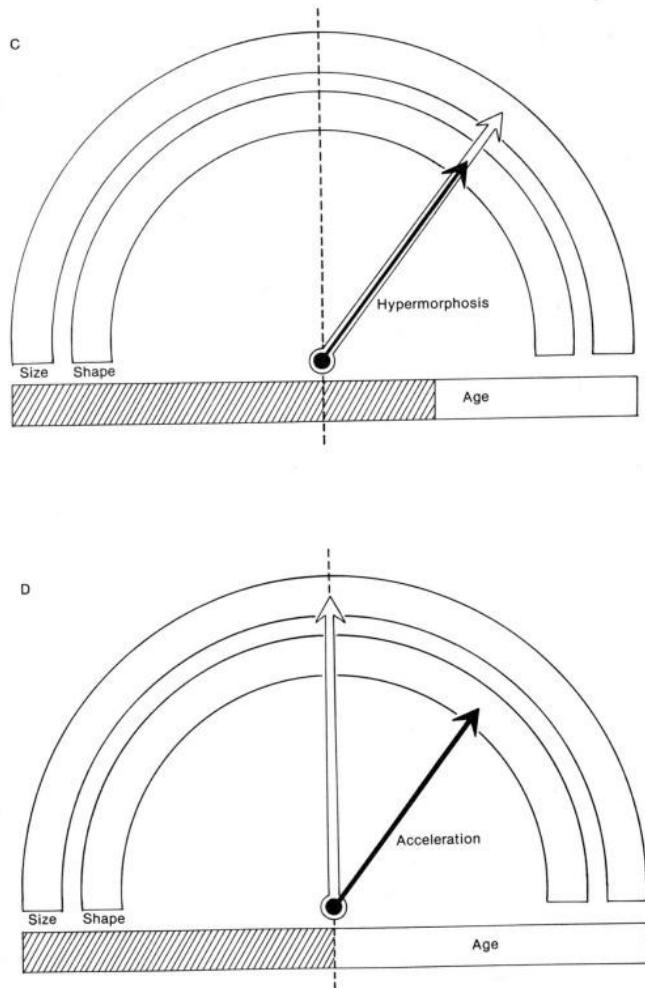


Fig. 39. Continued



Jak se v diversitě rodu uplatňuje růst a vývoj?

Fig. 39. Continued



156 | Evolution and Development

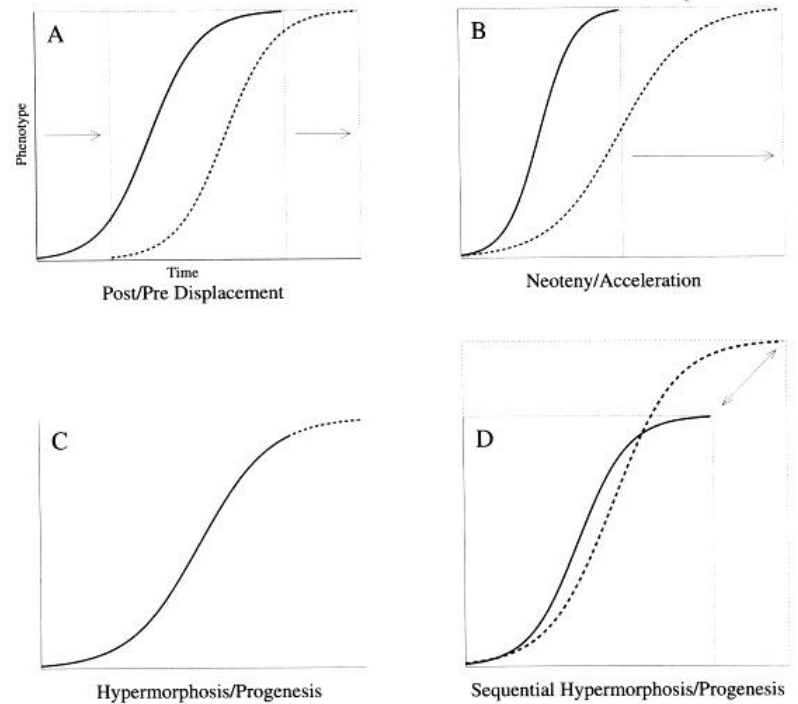


Fig. 7.1. Transformations of ontogenetic trajectories corresponding to different types of heterochrony. *A*: Shifting the entire trajectory to the *right* constitutes *postdisplacement*; the converse is *pre displacement*. *B*: A uniform stretching of the time axis, as if each value on that axis were multiplied by a constant greater than 1, constitutes *neoteny*. Contracting the time axis by multiplying each time value by a constant between 0 and 1 produces *acceleration*. *C*: Allowing the trajectory to continue beyond its ancestral termination is *hypomorphosis*. Stopping it before this point is *progenesis*. *D*: *Sequential hypomorphosis* involves stretching both the time and phenotype axes by the same amount.

Lineární a nelineární změny v tělesné stavbě

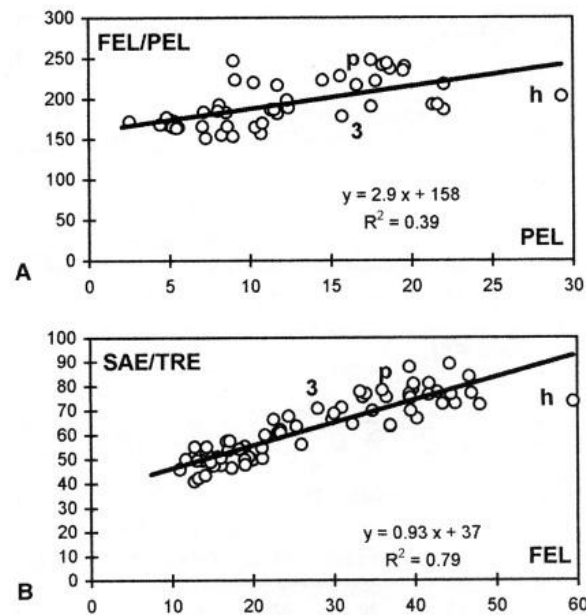


Fig. 17.4. Shape-size graphs of femoral morphology. X-axis in centimeters; Y-axis: ratios (in percentage). *FEL/PEL*, relative length of the femur (in proportion to the pelvic length); *SAE/TRE*, sagittal to transverse diameter of distal femoral epiphysis; *FEL*, femoral length; *PEL*, pelvic length; *SAE*, sagittal diameter of the distal femoral epiphysis; *TRE*, transverse diameter of the distal femoral epiphysis; 3, AL 288 (adult *Australopithecus*); p, adult pygmy; h, adult giant specimen.

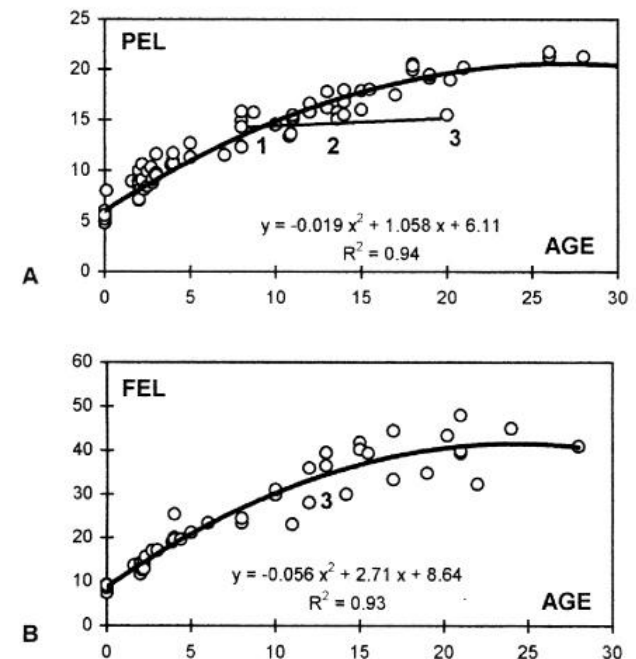


Fig. 17.2. Growth curves of the pelvic and femoral lengths in hominids. *PEL*, pelvic curve; *FEL*, femoral curve; X-axis (in years): known ages in humans and estimated ages in fossils (see under "Methods"); Y-axis (in centimeters): *PEL*, pelvic length; *FEL*, femoral length. 1: MLD 7 (juvenile *Australopithecus africanus*). 2: Sts 14 (subadult *A. africanus*, see text). 3: AL 288 (adult *Australopithecus afarensis*).

Je vývoj a růst mozku speciální problém?

Heterochrony in Primate Brain Evolution | 159

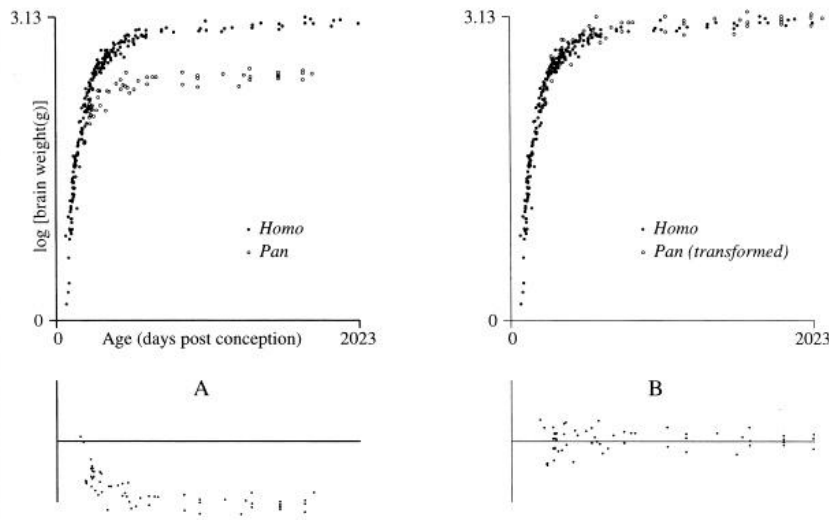


Fig. 7.3. Comparison of human and chimpanzee brain growth trajectories. The plots below the trajectories show the distribution of residuals representing the distance between each point on the chimpanzee curve and the local best-fit regression line through human data. *A*: Untransformed trajectories. *B*: The chimpanzee trajectory has been transformed by sequential hypermorphosis, multiplying both the phenotype and time axes by 1.22. With this transformation, the residuals come to be evenly distributed around the human curve. There are fifty-four residual points, and the longest run on the same side of the human line is four.

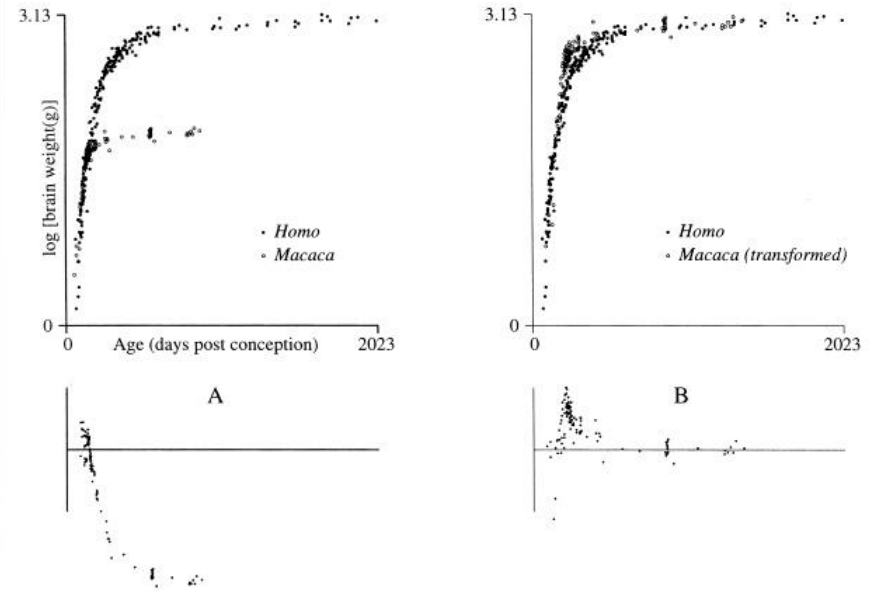


Fig. 7.4. Comparison of human and macaque trajectories. *A*: The macaque trajectory closely follows that for humans initially and then deviates at about the time of birth in macaques. *B*: Expanding the macaque curve by a factor of 1.56 produces a good match for the early and late parts of the trajectories but leads to an overshoot at around the time of birth. This is apparent in the plot of residuals, which has a run of 66 points (out of 101) above the human curve. The probability of a run of this length or longer arising by chance if the curves were actually the same is less than 10^{-6} .

Rychlost a tempo ontogeneze

- Ontogeneze může mít různé tempo i u blízce příbuzných druhů
- Výrazné růstové rozdíly můžeme najít i u dvou populací stejného druhu, které žijí v různých podmínkách.
- Jednotlivé znaky a komplexy mohou mít různou rychlost růstu

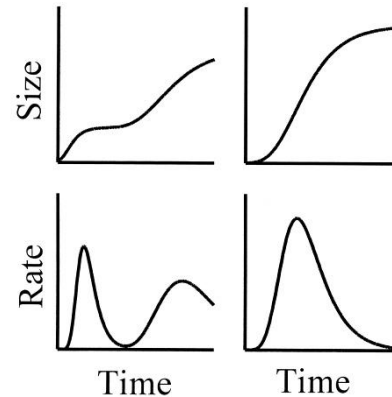


Fig. 10.1. The effect of delaying an adolescent growth spurt on size and rate curves. In the first pair of these hypothetical curves (*left*), the adolescent curve occurs significantly after the initial growth spurt, and they are separated in time, as is true for humans. The second pair (*right*) depicts the situation most often found in other mammals, where the two growth spurts occur so close in time that they are not discernible as separate peaks on the rate curves.

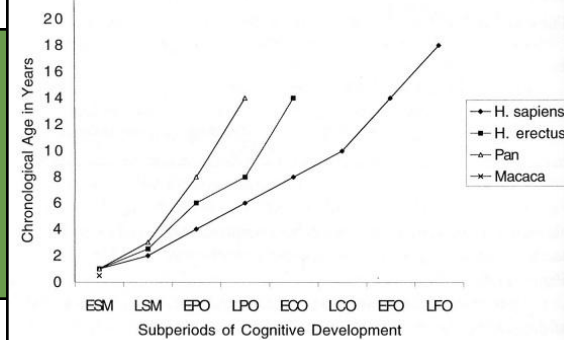


Fig. 14.3. Chart of primate comparative cognitive development. *ESM*, Early Sensorimotor; *LSM*, Late Sensorimotor; *EPO*, Early Preoperations; *LPO*, Late Preoperations; *ECO*, Early Concrete Operations; *LCO*, Late Concrete Operations; *EFO*, Early Formal Operations; *LFO*, Late Formal Operations.

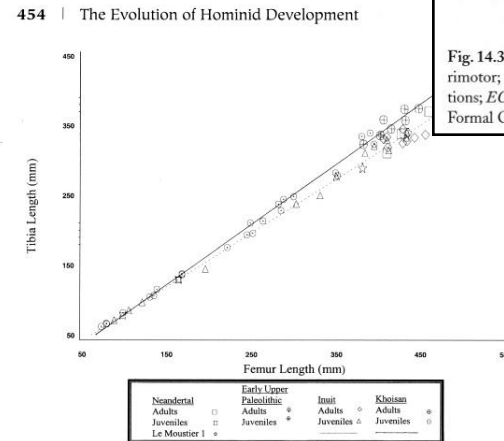


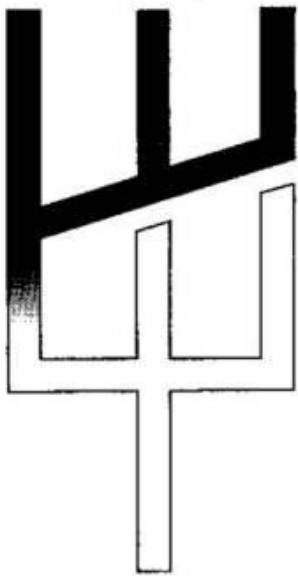
Fig. 19.6. Ontogenetic plot of tibia length on femur length. The least squares regression lines are based on the entire (adults and subadults) Inuit and Khoisan samples.

Teorie vzniku a diferenciácie moderného človeka

Vysoká druhová i populačná diverzita

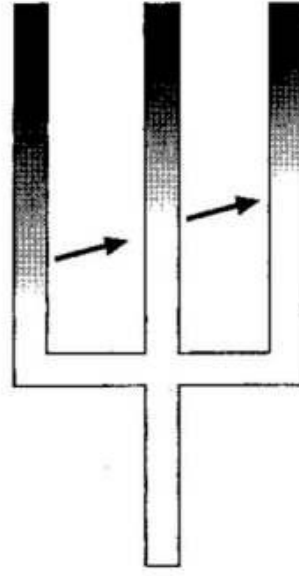
Vysoká populačná
diversita
Nízka speciace

Africa Europe Asia



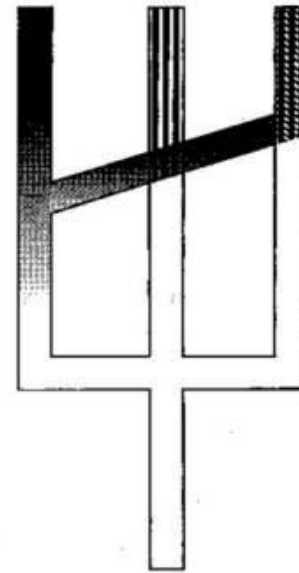
Out of Africa Model

Africa Europe Asia



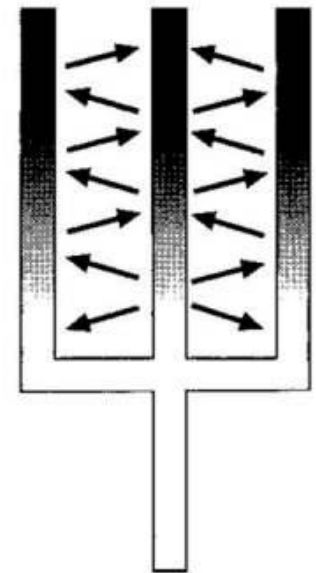
Smith's Model
(Assimilation)

Africa Europe Asia



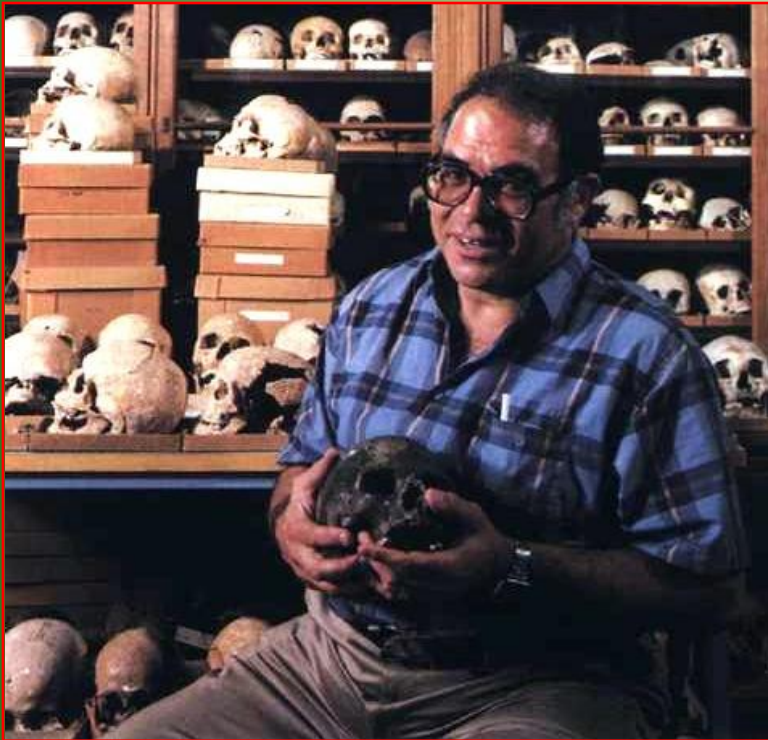
Brauer's Model
(Hybridization and Replacement)





Africa Europe Asia



Multiregional Model

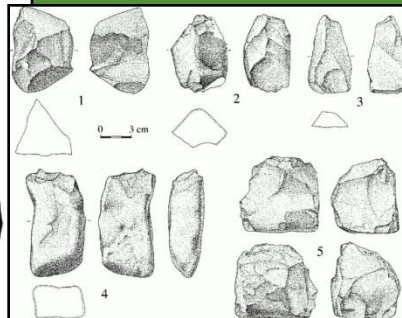
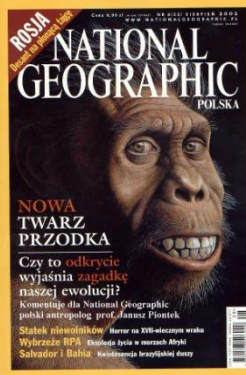
Je existence jednoho druhu v evoluci člověka reálná?



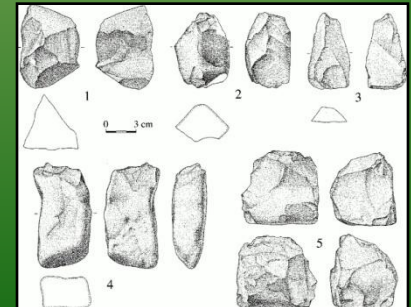
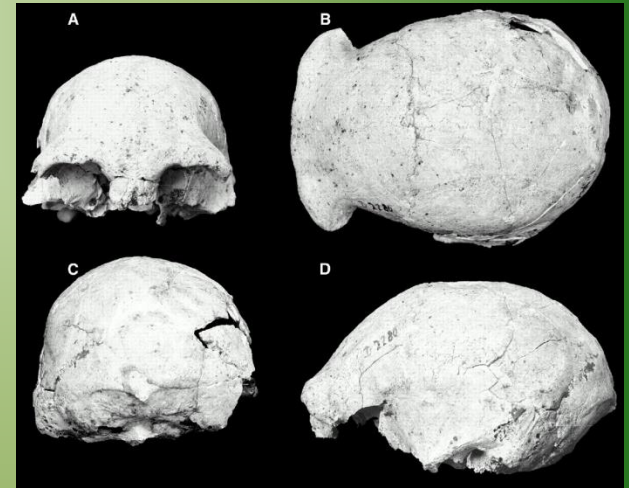
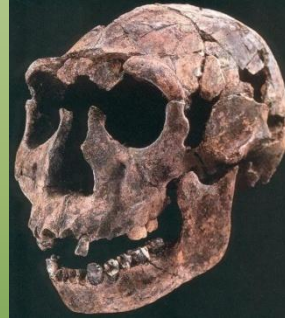
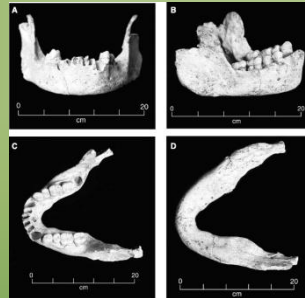
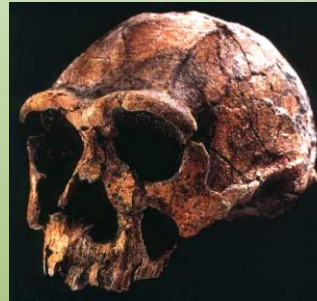
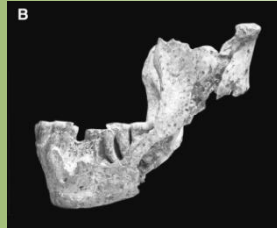
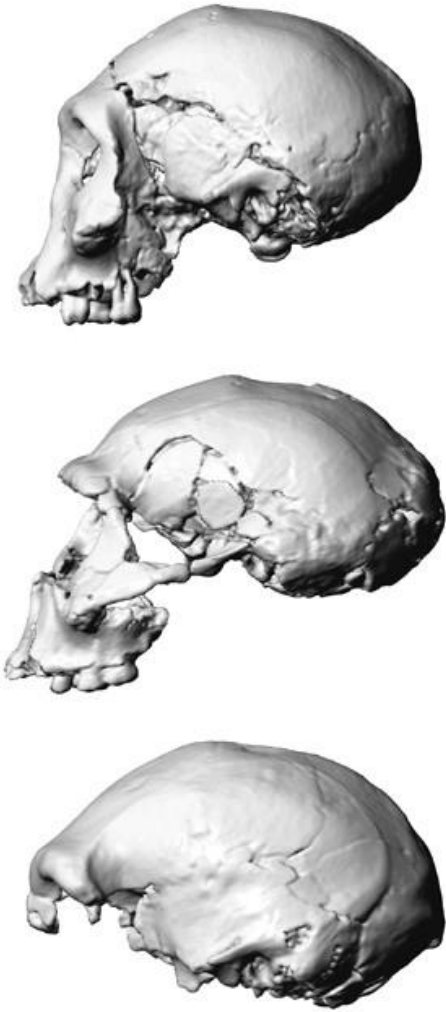
					
		EUROPE AND LEVANT	AFRICA	EAST ASIA	AUSTRALASIA
UPPER PLEISTOCENE	LATE	Lagar Velho Předmostí Mladeč	Afalou Lukenya	Shandongong Ziyang Lujiang	Kow Swamp Keilor Willandra Lakes 50
	MIDDLE	Vindija Kebara La Ferrassie La Chapelle	Dar es Soltan	Maba	Lake Mungo 1, 3
	EARLY	Qafzeh Krapina	Klasies Ormo Kibish	Dingcun Xujia Yao	
MIDDLE PLEISTOCENE	LATE	Ehringsdorf Blache Zuttiyeh	Ngaloba Florisbad	Dali Jinniushan	Sambungmahan 1, 3 Ngandong
	MIDDLE	Sima de los Huesos Petralona Arago Steinheim	Kabwe Ndutu	Zhoukoudian H Hexian Nanjing	
	EARLY	Gran Dolina	Bodo Ternifine Olduvai 12	Zhoukoudian D, E, L Chenjiawo Yunxian	Sangiran 2, 10, 12, 17 Trinil
LOWER PLEISTOCENE	LATE		Buiá, Bouri Olduvai 9	Gongwangling Yuanmou	
	MIDDLE		Konso Gardula Lake Turkana (east) 992		Sangiran 4, 27, 31
	EARLY	Dmanisi	Lake Turkana (east) 730, 3883, 3733 (west) 15000		Mojokerto

WELL-DATED FOSSILS point to the continuous, linked evolution of modern humans at sites around the world. Modern human groups in different regions developed distinct anatomical identities. Nevertheless, gene flow between the groups through interbreeding spread important changes throughout and was sufficient to maintain humans as a single species.

Homo ergaster a Homo erectus - nejstarší skuteční lidé

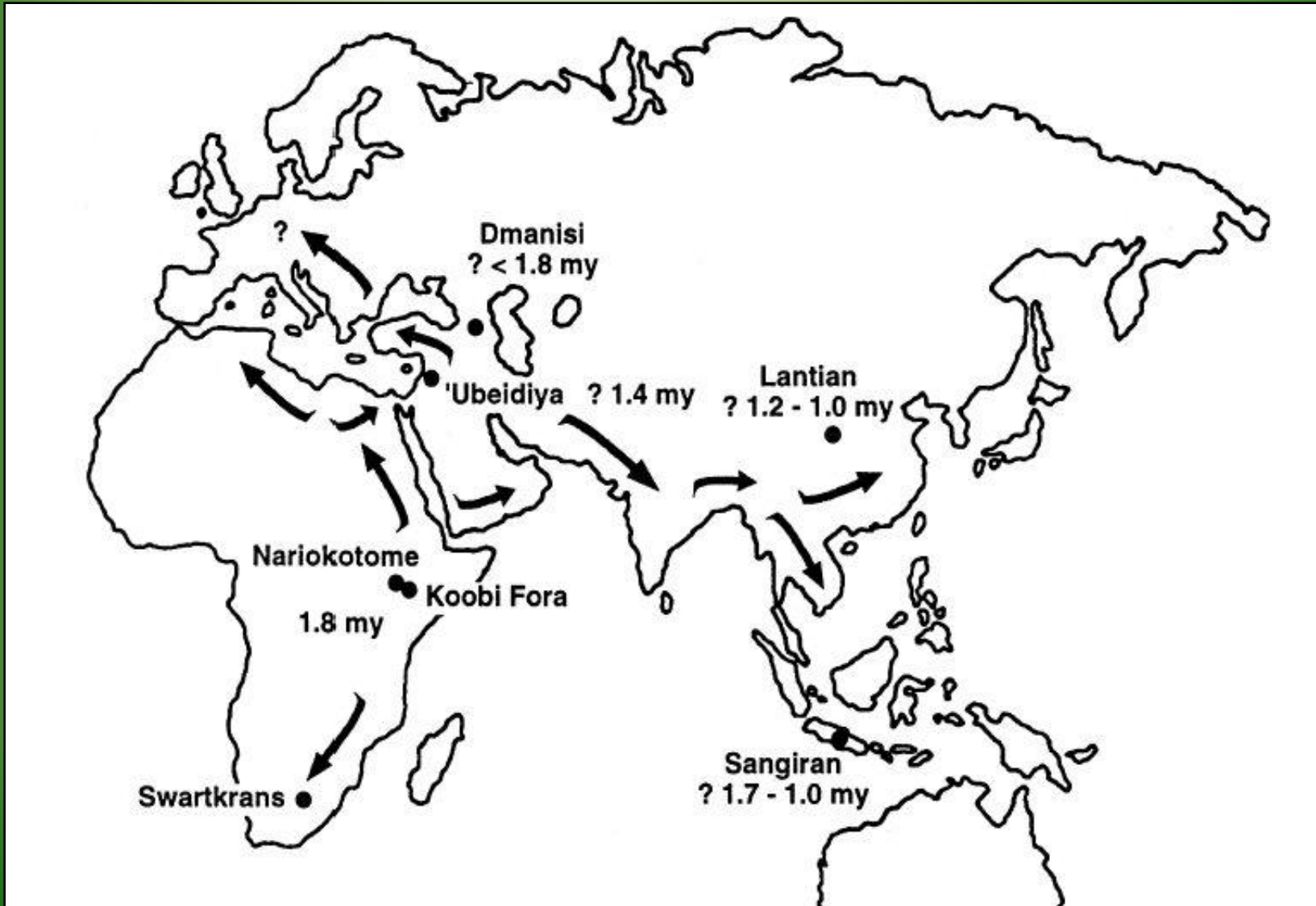


Afrika a Dmanisi – jeden nebo více druhů?



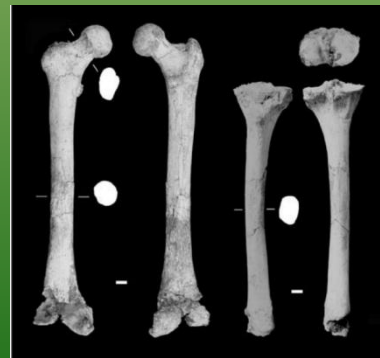
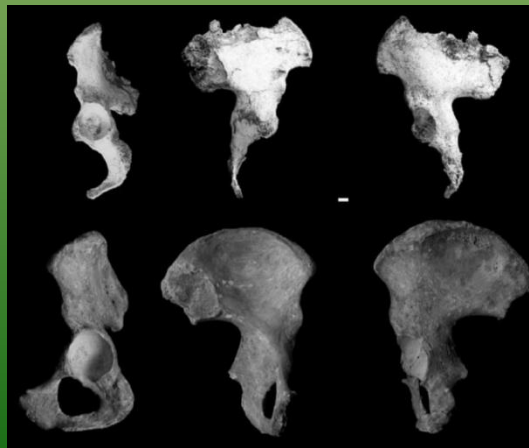
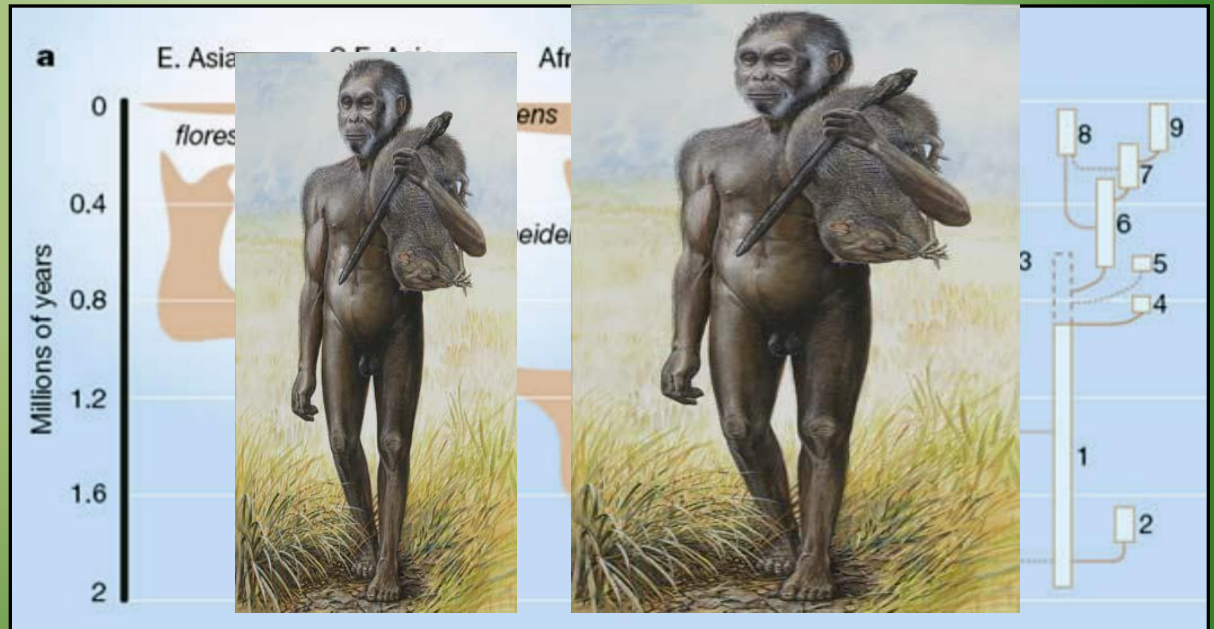
Migrace *Homo ergaster/erectus*

Proč do Asie a proč pomalá evoluce v Asii a rychlá v Africe?

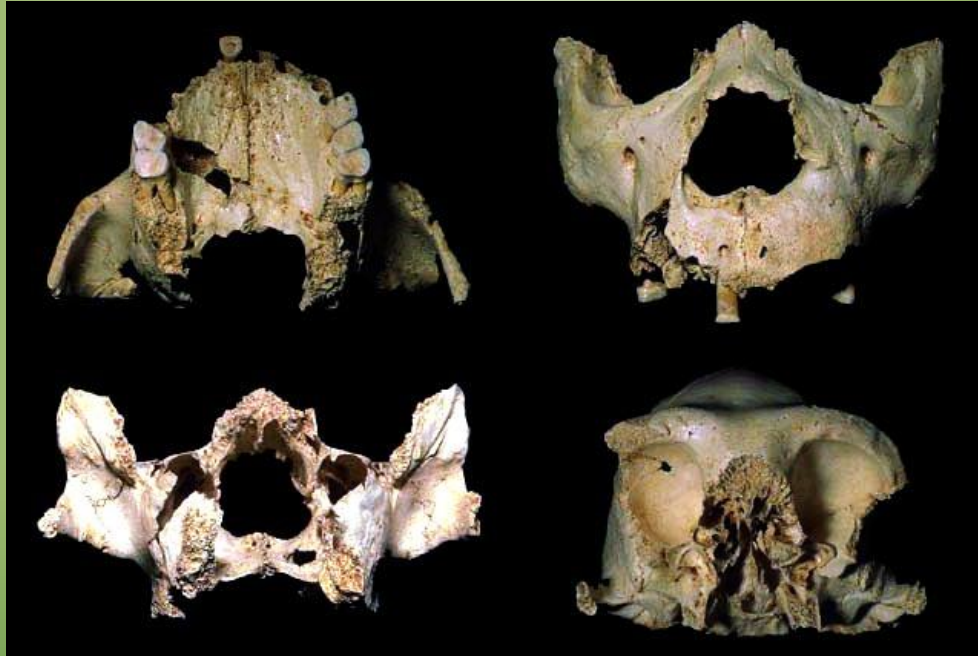


Homo floresiensis – „oživlý“ mýtus z Indonézie

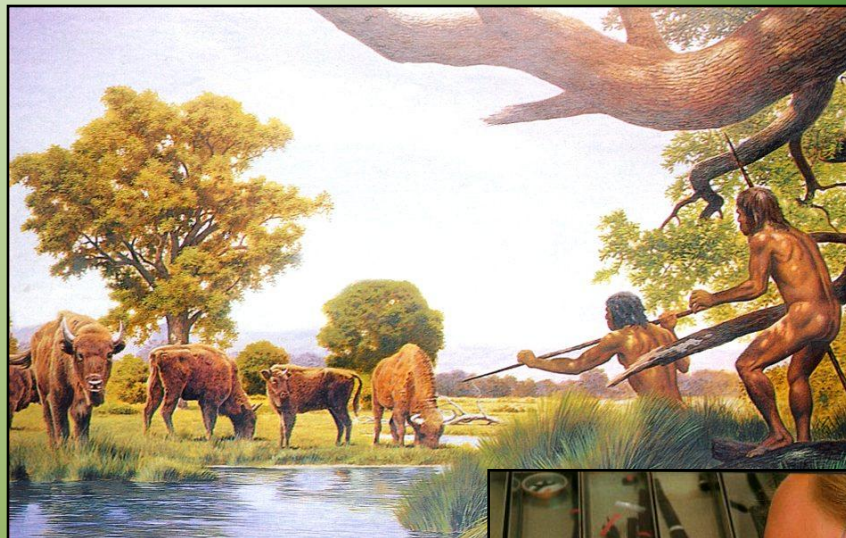
Trpasličí starobylý člověk z ostrova Flores – 18 000 let



Gran Dolina - Atapuerca - *H. erectus* nebo *H. antecessor*?



Homo heidelbergensis - archaický *Homo sapiens*



- Rozvoj materiální kultury a kamenné technologie
- Evropu ovládá pokročilý ašelén
- *Homo heidelbergensis* se stává prvním opravdovým lovcem

První skutečná kolonizace Evropy

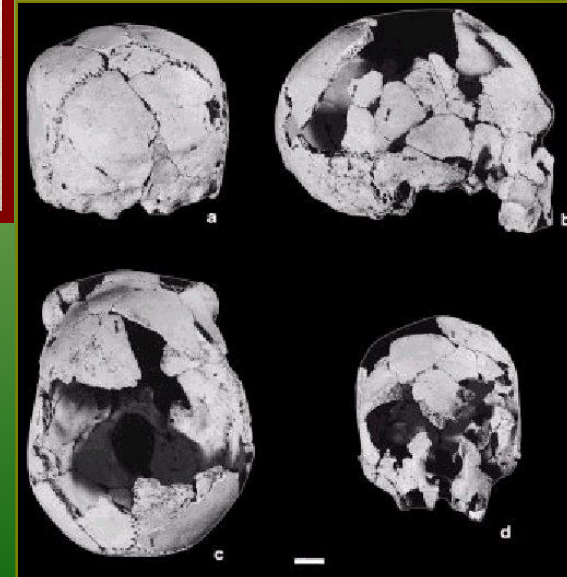
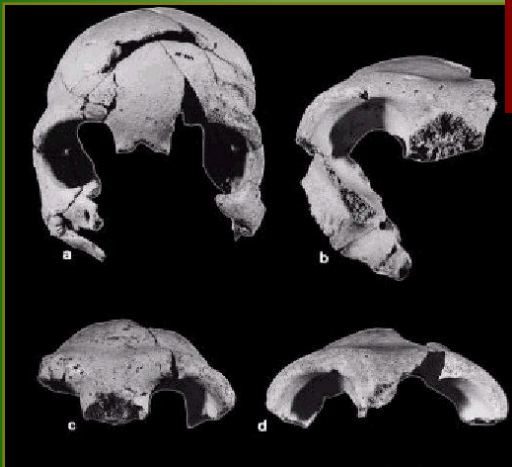
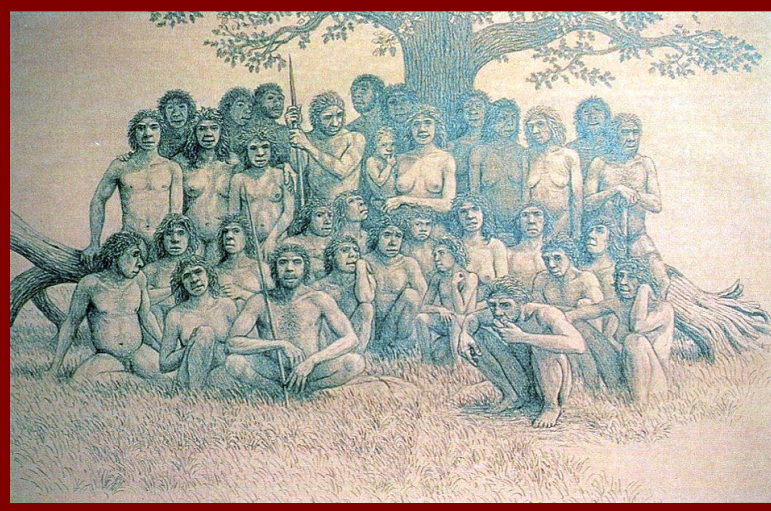


Sima de los Huesos - nečekaná variabilita

Populace z jeskyně Sima de los Huesos představuje podivuhodnou směs znaků od znaků *Homo heidelbergensis* přes neandrtálské až po jedince s překvapivě moderní morfologií. Tito lidé byli velcí a robustní a měli relativně malý mozek

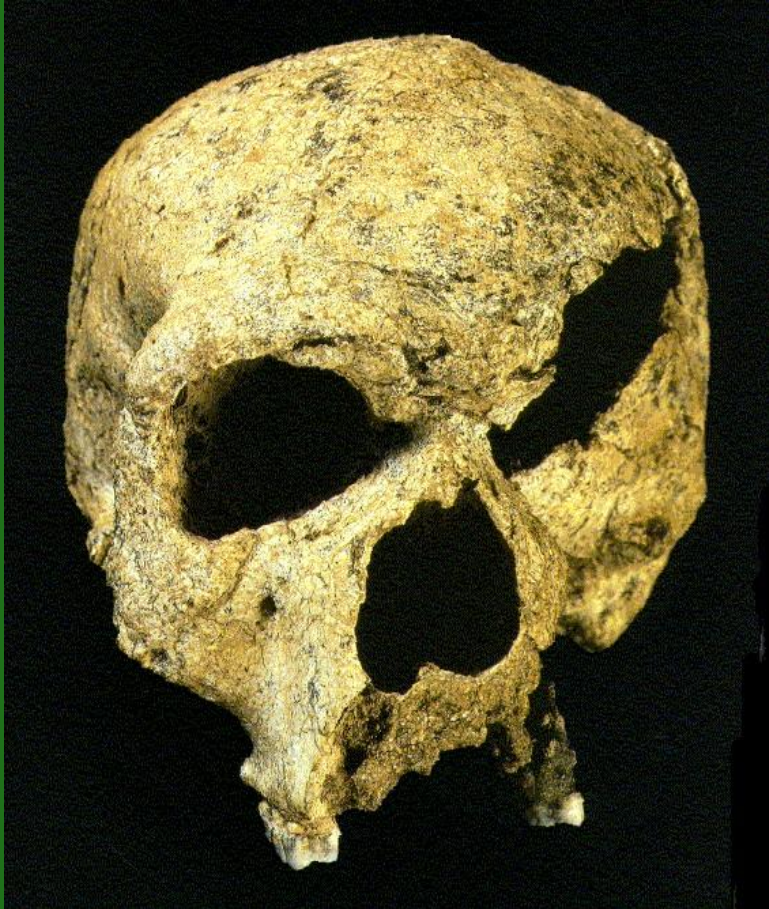


Tento jedinec byl od raného dětství hluchý

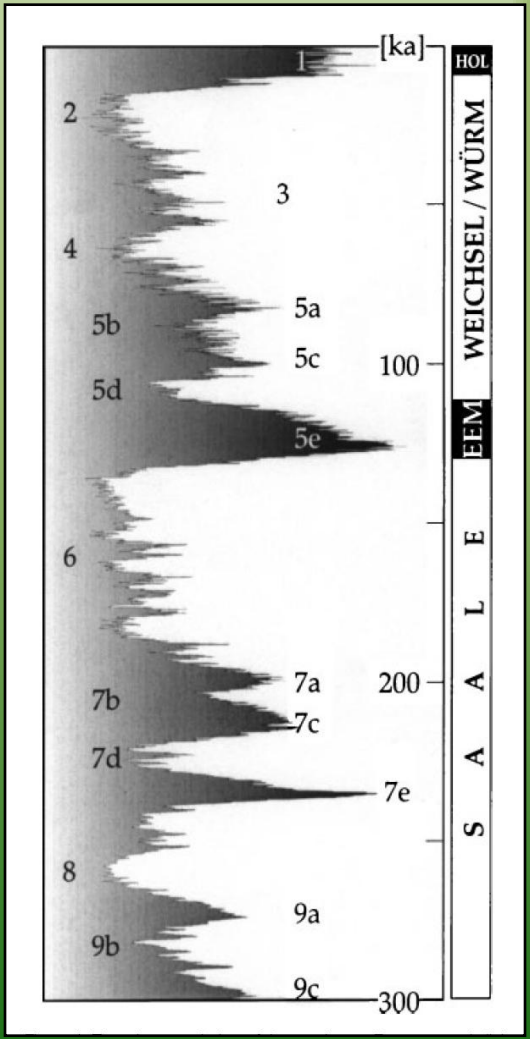
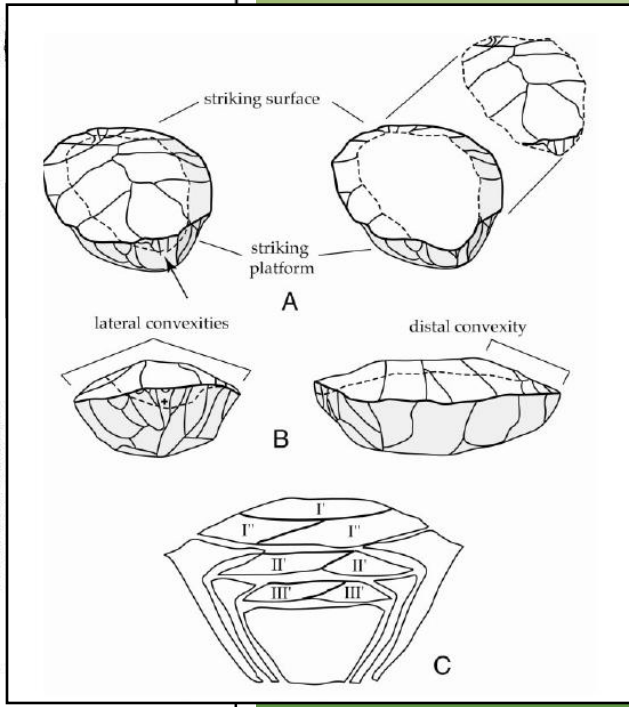
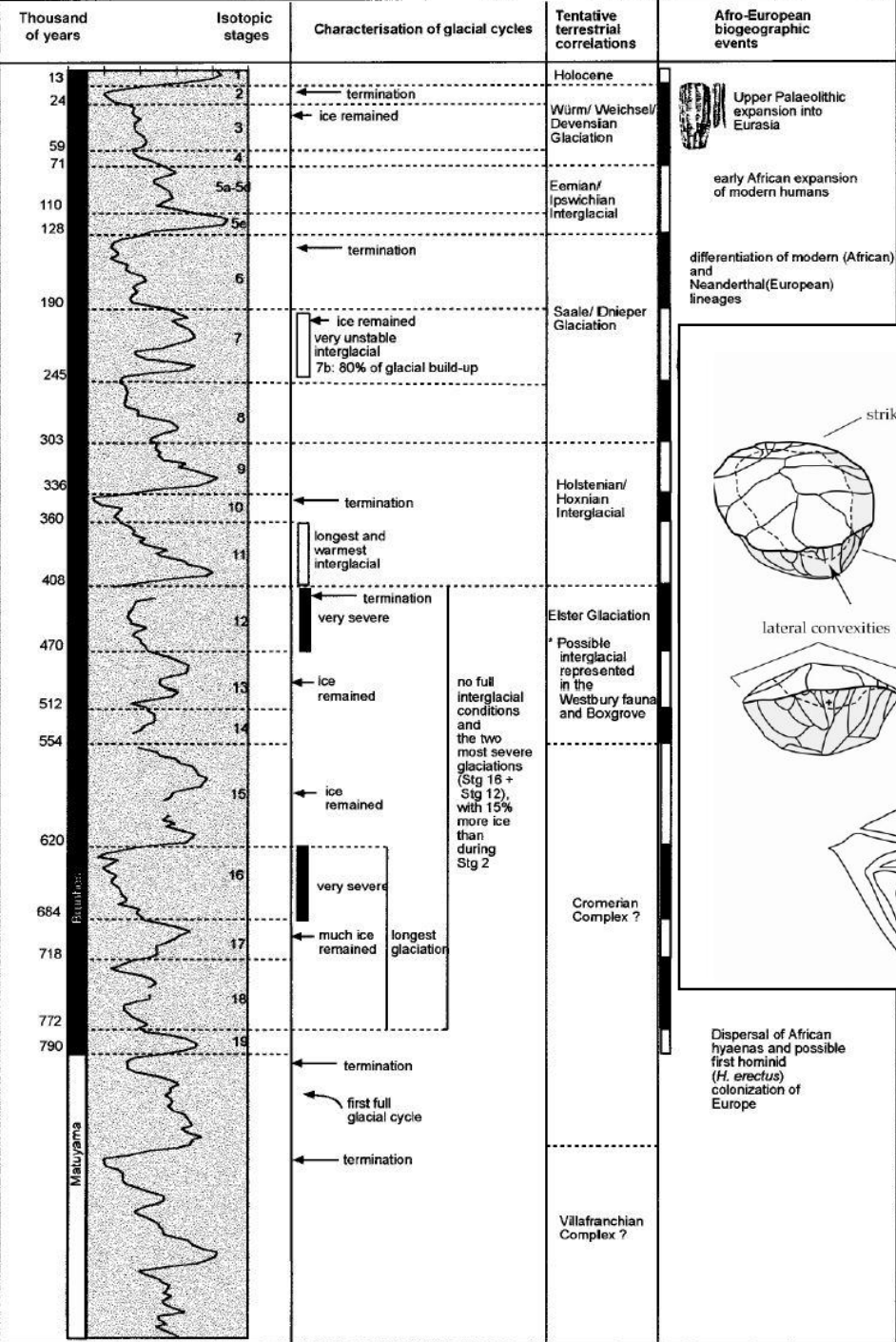


Steinheim (a Swanscombe)

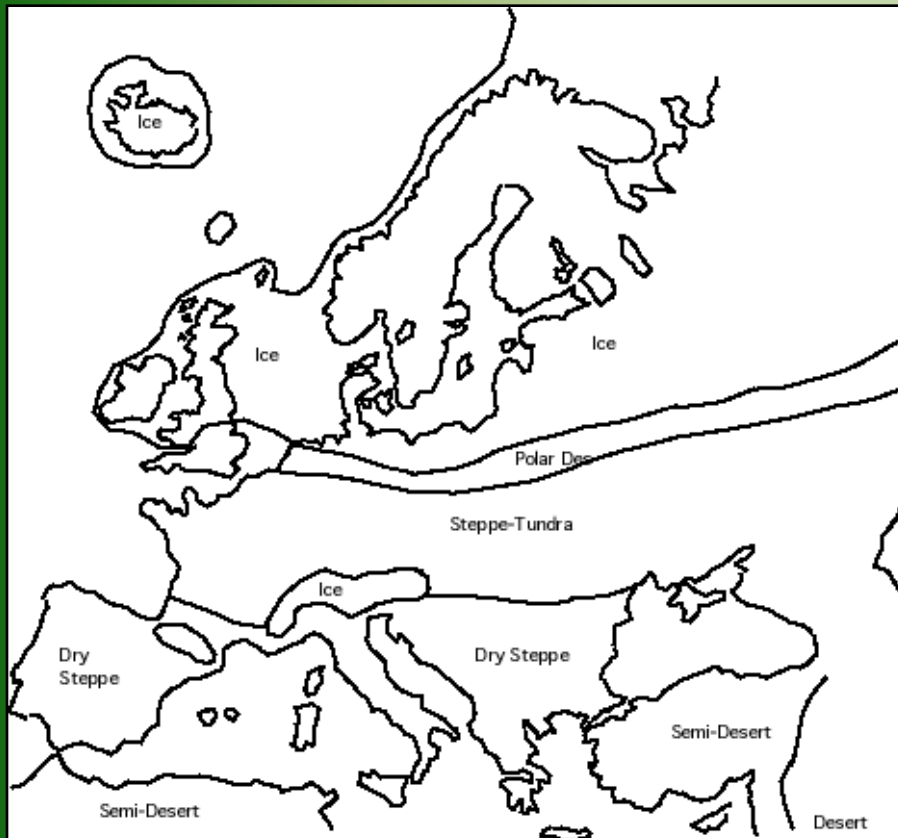
mladší formy archaického *H. sapiens*
větší mozek – nová kultura – preneandrtálci????



Klimatické změny a evoluce rodu Homo



Situace v Evropě před 150 a 120 tis. lety - Riss



Penultimate glacial maximum, 150,000 y.a. (Isotope Stage 6). After van Andel & Tzedakis (in press). Sea level was more than 100m below present, but modern-day coastlines are shown here.



Eemian interglacial optimum (125,000-120,000 y.a.) (Isotope Stage 5e). From van Andel & Tzedakis (in press). Temperate forest extended much further north than at present. Scandinavia was an island cut off by an extended Baltic seaway.

Vznik moderních forem člověka

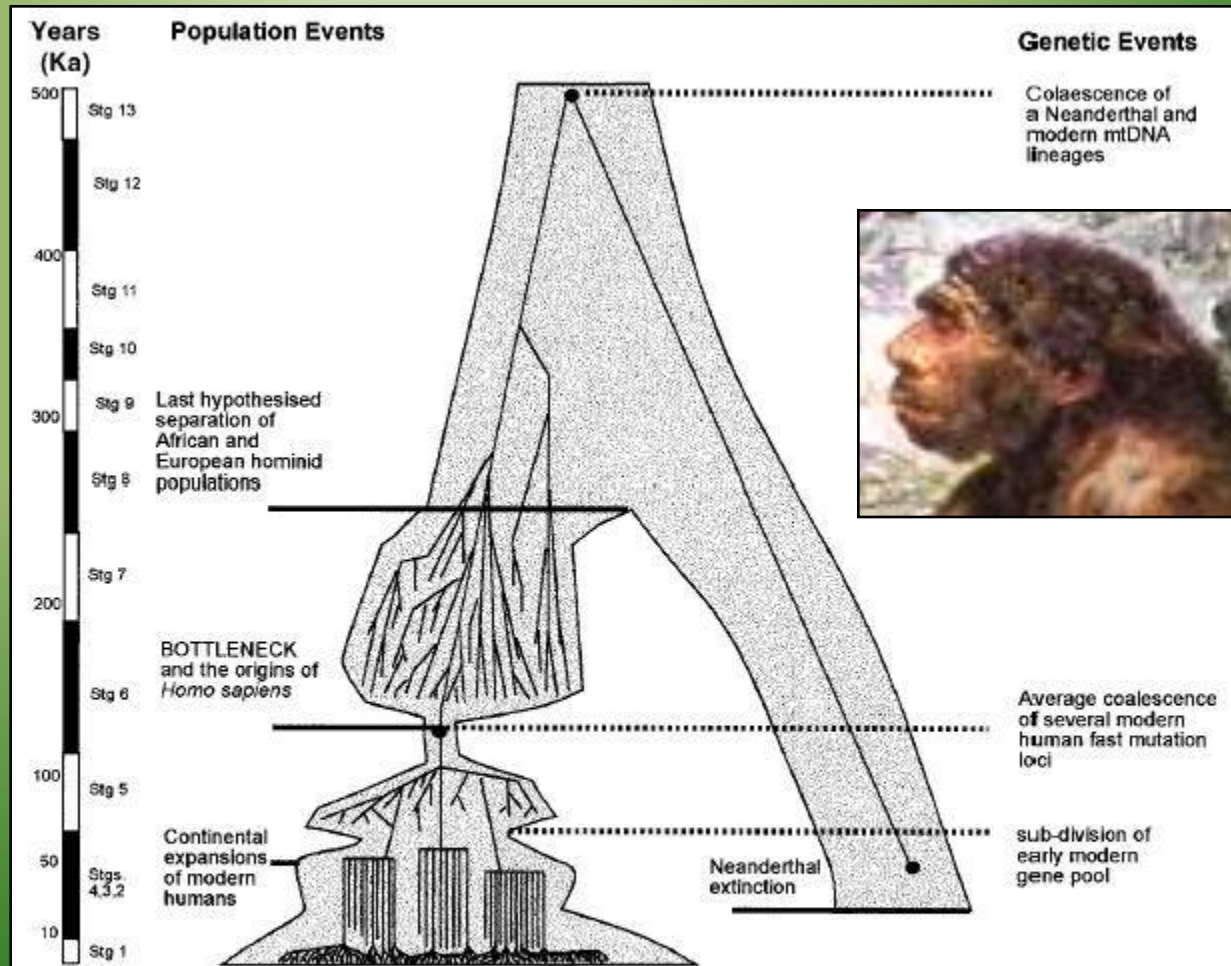
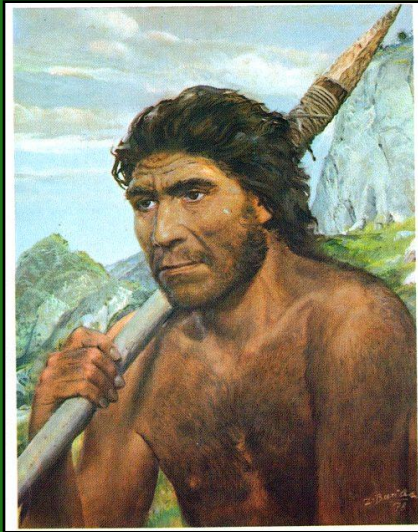


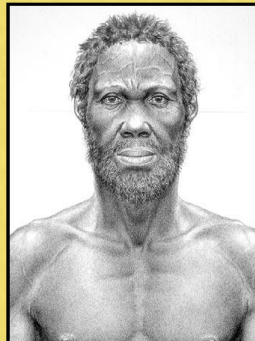
Fig. 5. Schematic representation of the relationship between the population history of humans and Neanderthals and mtDNA genealogy highlighting the likelihood that the time of mtDNA coalescence between a Neanderthal and modern lineages preceded population vicariance, whereas the time of coalescence of human mtDNA, Y-chromosome loci, and microsatellites could coincide with the demographic bottleneck that separated early modern humans from late archaic African hominids.

Kdo vlastně vynalezl moderní kamenné technologie když ne AMČ?

Herto - Middle Awash

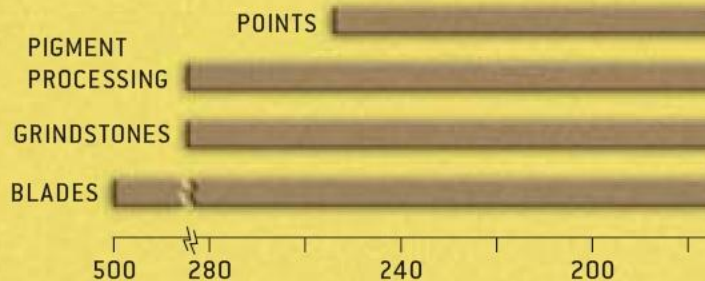
160 000 let

Čepelové industrie před AMH

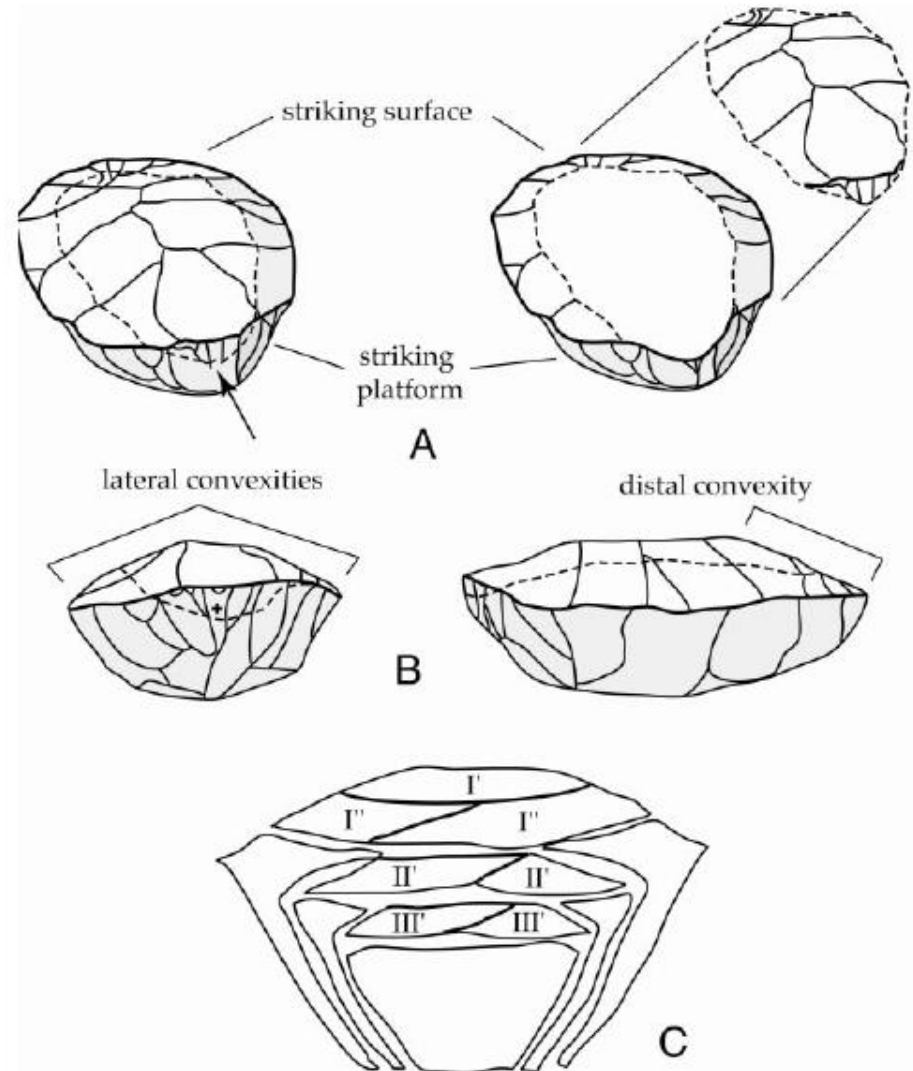


LONG-DISTAN

S



Age of Oldest Know



Africký střední paleolit – revoluce před revolucí

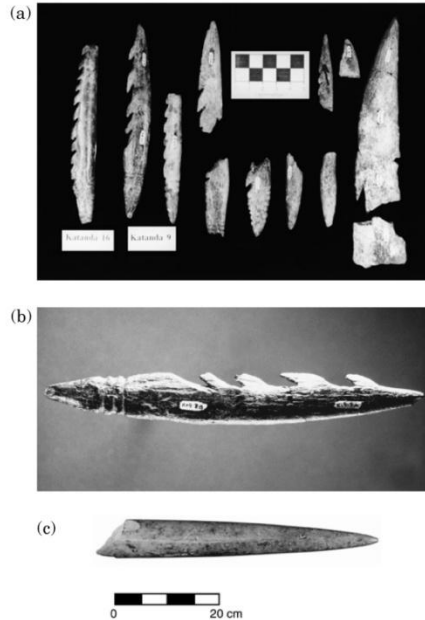


Figure 7. Bone points of the African MSA. (a) Katanda 16 and Katanda 9 (after Yellen *et al.*, 1995), © Alison S. Brooks; (b) detail of point from Katanda 9. © Chip Clark, Smithsonian Institution; (c) Blombos Stillbay level, after Henshilwood & Sealey, 1997, figure 7, photo courtesy of Chris Henshilwood.

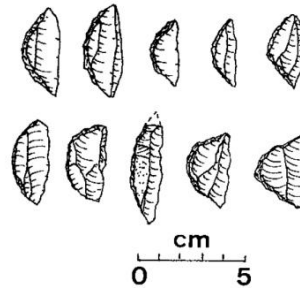


Figure 6. MSA geometric microliths; top row, Klasies River Howiesonspoor, after Wurz (1997); bottom row, Mumba Industry, Mumba Rock Shelter, level V, after Mehlman (1989). © Sally McBrearty.

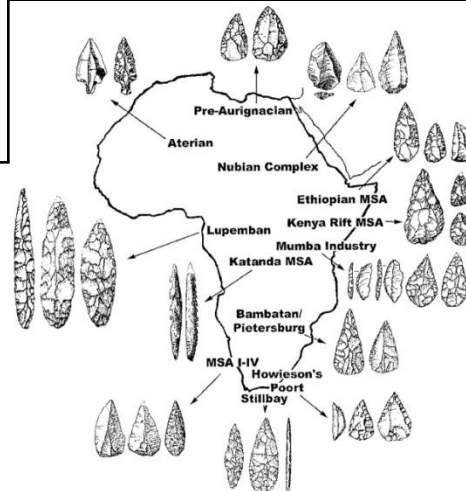


Figure 5. Map of distribution of point styles in the African MSA (after Clark, 1993, Figure 1). © Sally McBrearty & Alison S. Brooks.

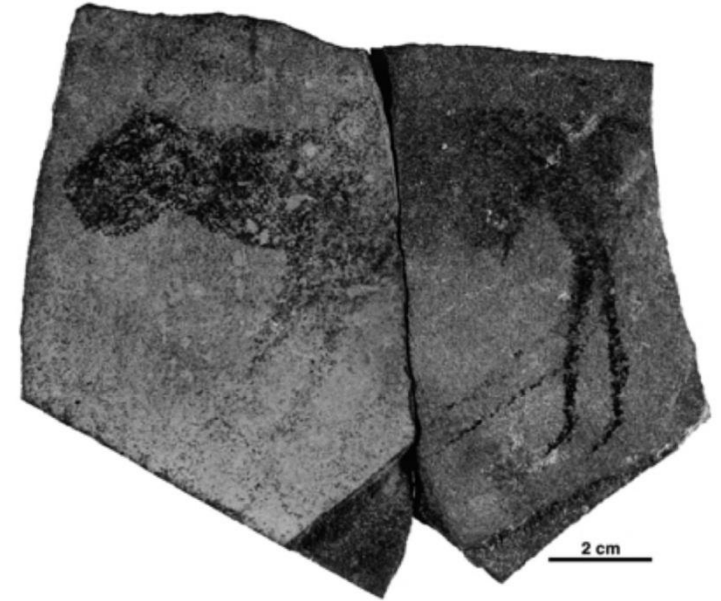
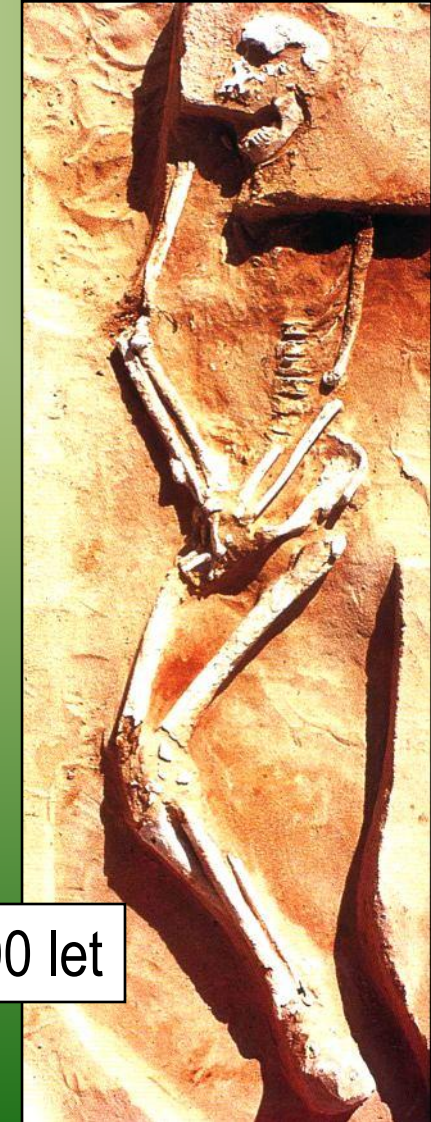
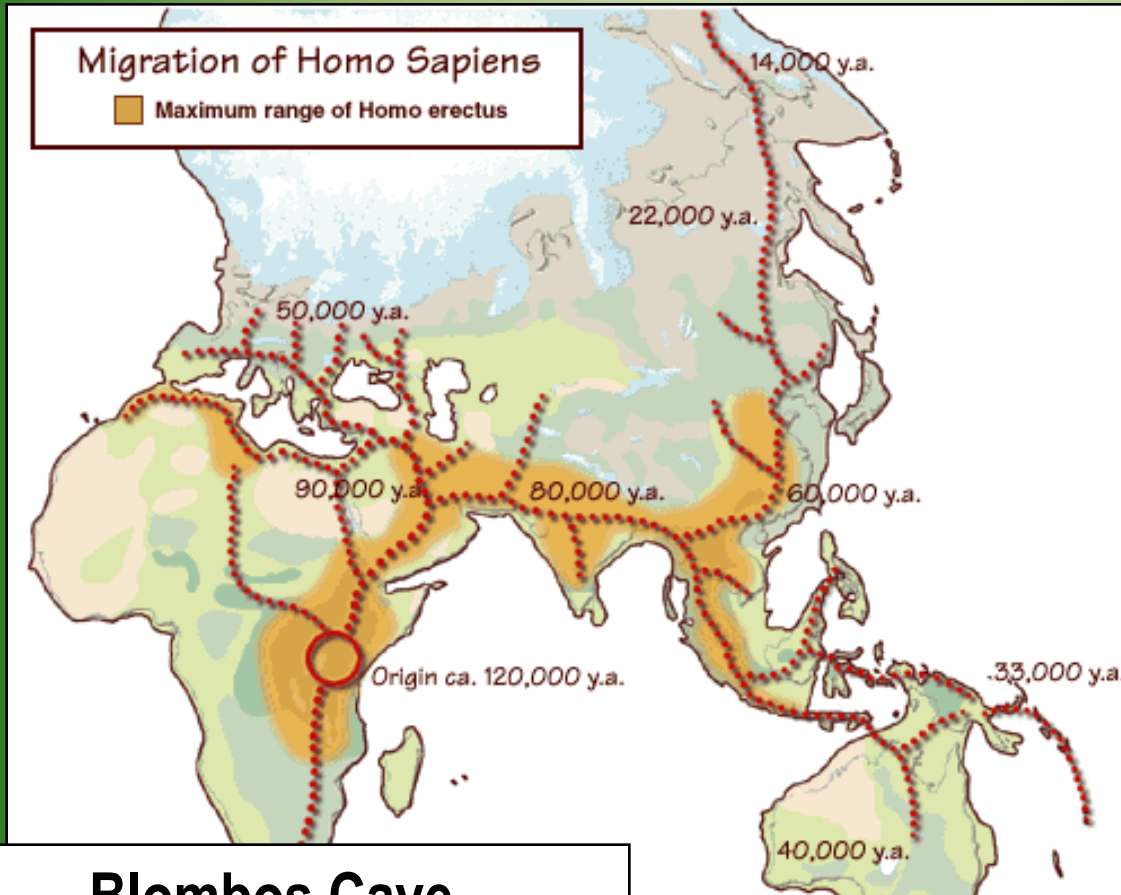


Figure 11. Painted slab from MSA levels at Apollo 11 Rock Shelter, after Vogelsang, 1998. Photo courtesy of Ralf Vogelsang and the Heinrich-Barth-Institut.

Osídlení světa anatomicky moderním člověkem



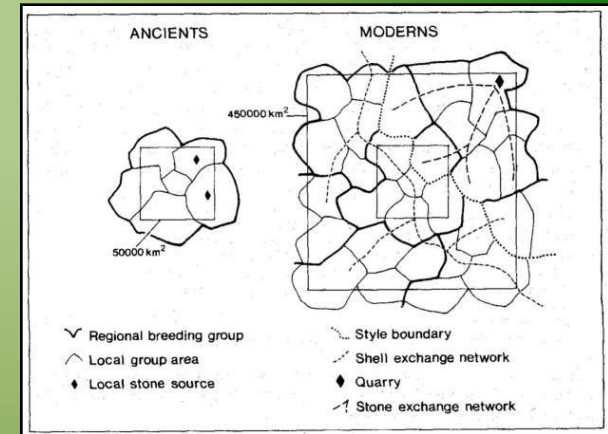
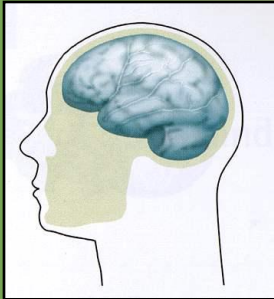
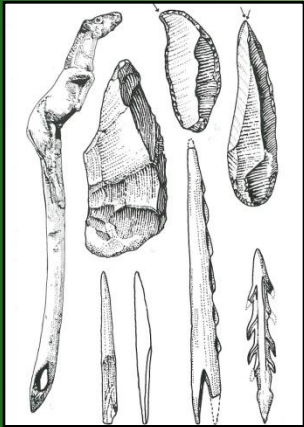
Blombos Cave

77 000 let

první „moderní“ čepelová kultura
spolu s prvním skutečným uměním

Lake Mungo 3 - 60 000 let

Ekologické rozdíly mezi pozdními neandrtálci a svrchně paleolitickým AMČ



- Neandrtálci byli predátoři – lovíli zvířata
- Byli jediným morfologicky a fyziologicky specializovaným druhem člověka
- Žili výhradně na území Evropy a západní Asie

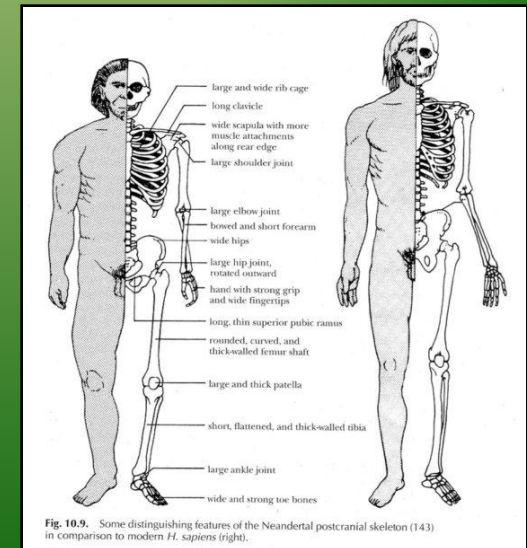
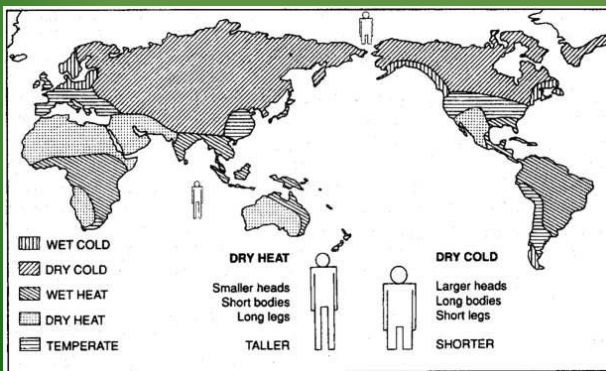
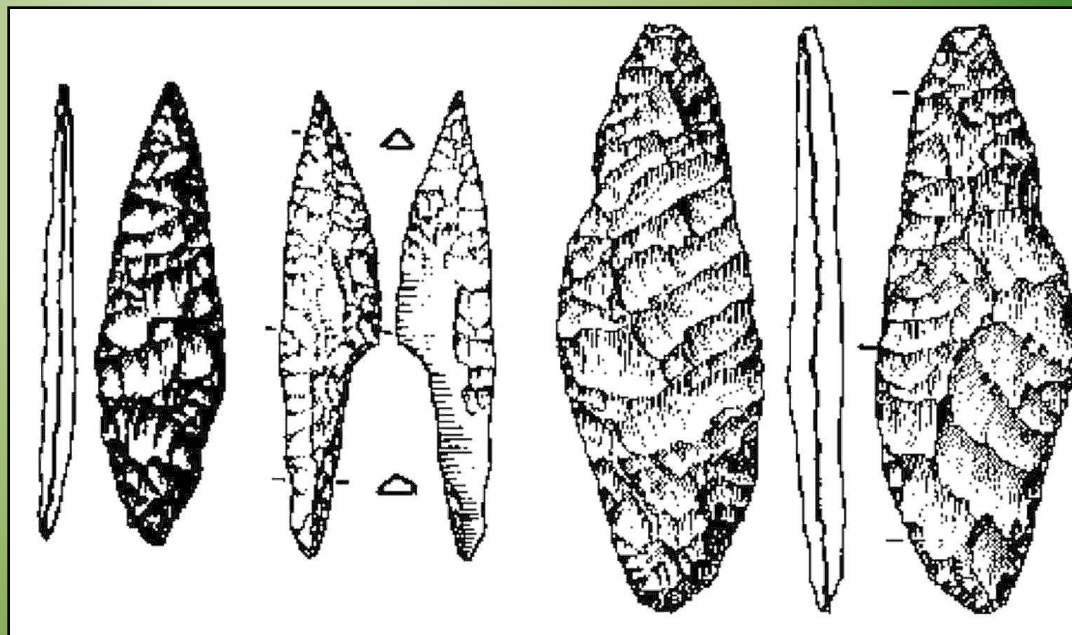
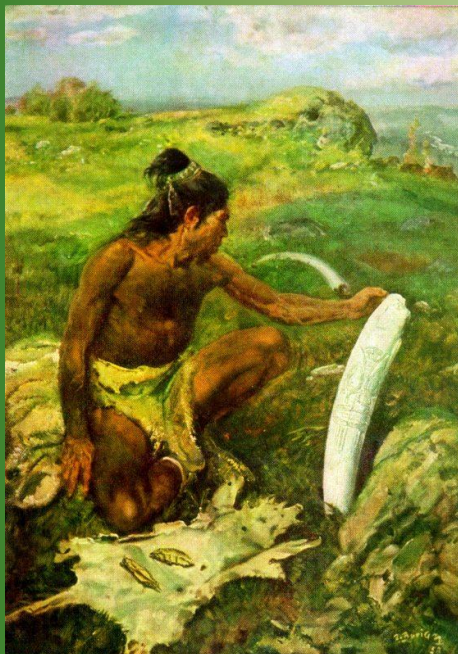


Fig. 10.9. Some distinguishing features of the Neanderthal postcranial skeleton (143) in comparison to modern *H. sapiens* (right).

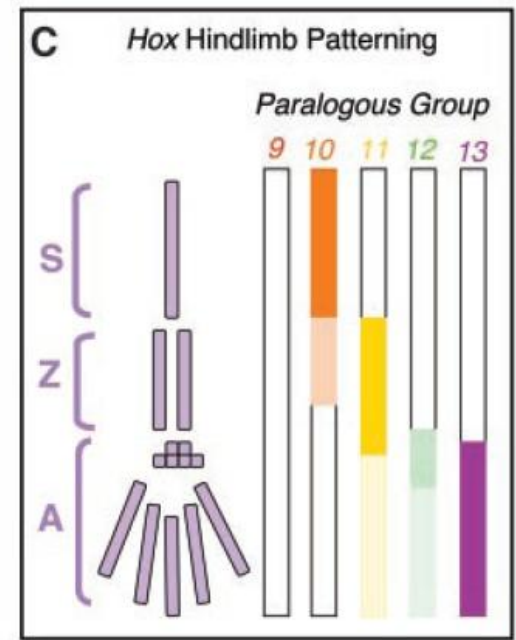
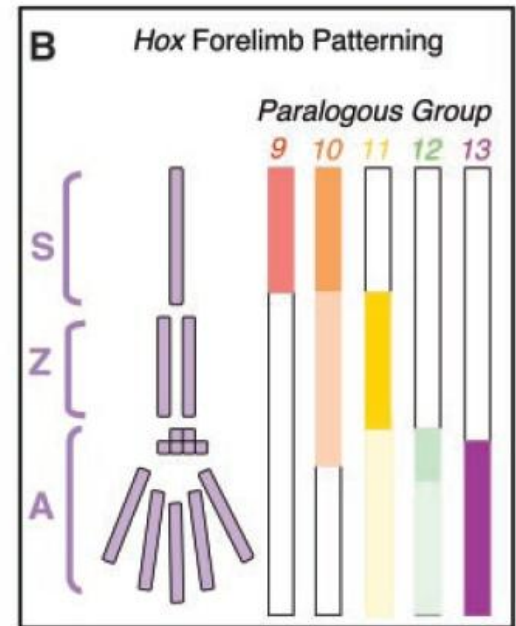
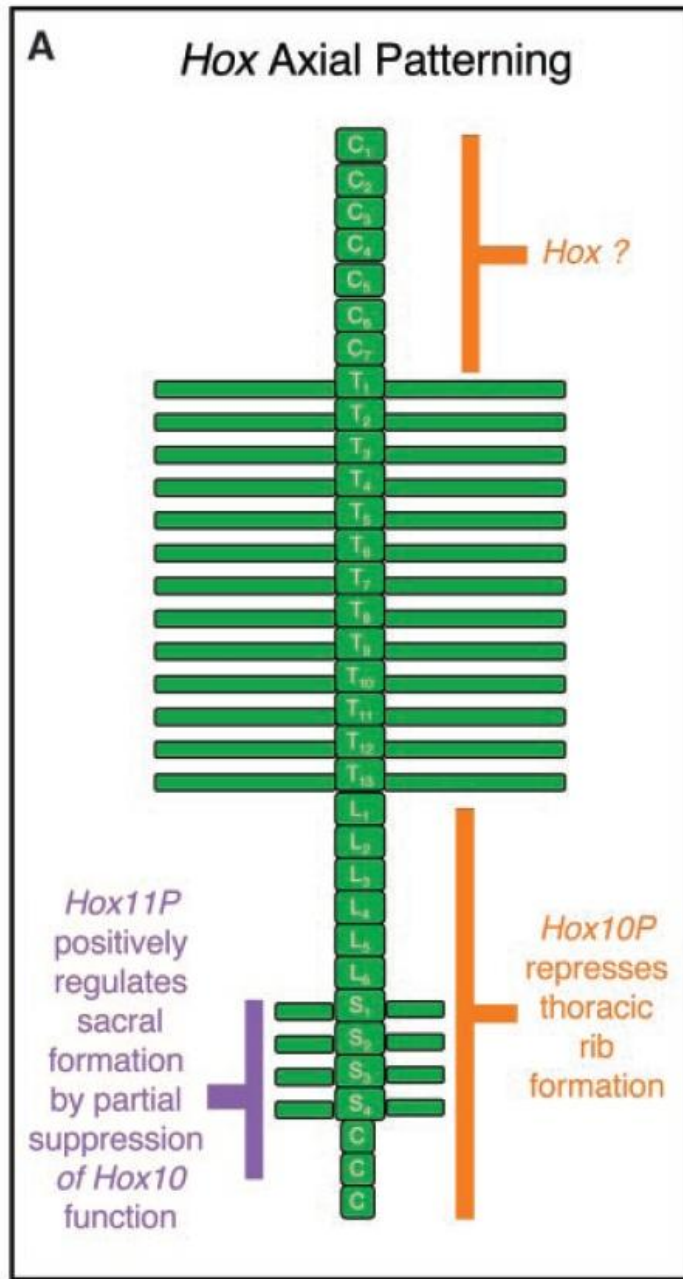
Bouřlivý rozvoj materiální kultury a umění



Genetické mechanismy variability a adaptibility člověka

- **System HOX genů - růst osového skeletu i skeletu končetin. Mutace či změna exprese těchto genů hrály nepochybně roli ve změnách proporcí v průběhu evoluce člověka a jeho předků. Tyto geny jsou důležité i pro řadu dalších funkcí.**
- **Výzkum funkce ACPI*A genu, který ovlivňuje nárůst svalové hmoty a odolnost ke chladu.**
- **Geny ovlivňujících růst mozkové kůry a činnost mozku, ASPM a MCPH1 microcephalin genů a FOXP2 genu.**
 - První dva geny mají vliv na růst mozkové kůry a poslední pak na vývoj řeči a jazyka.

Mechanismus funkce HOX genů



Vliv fyziologických regulací a růstových změn na variabilitu a adaptibilitu

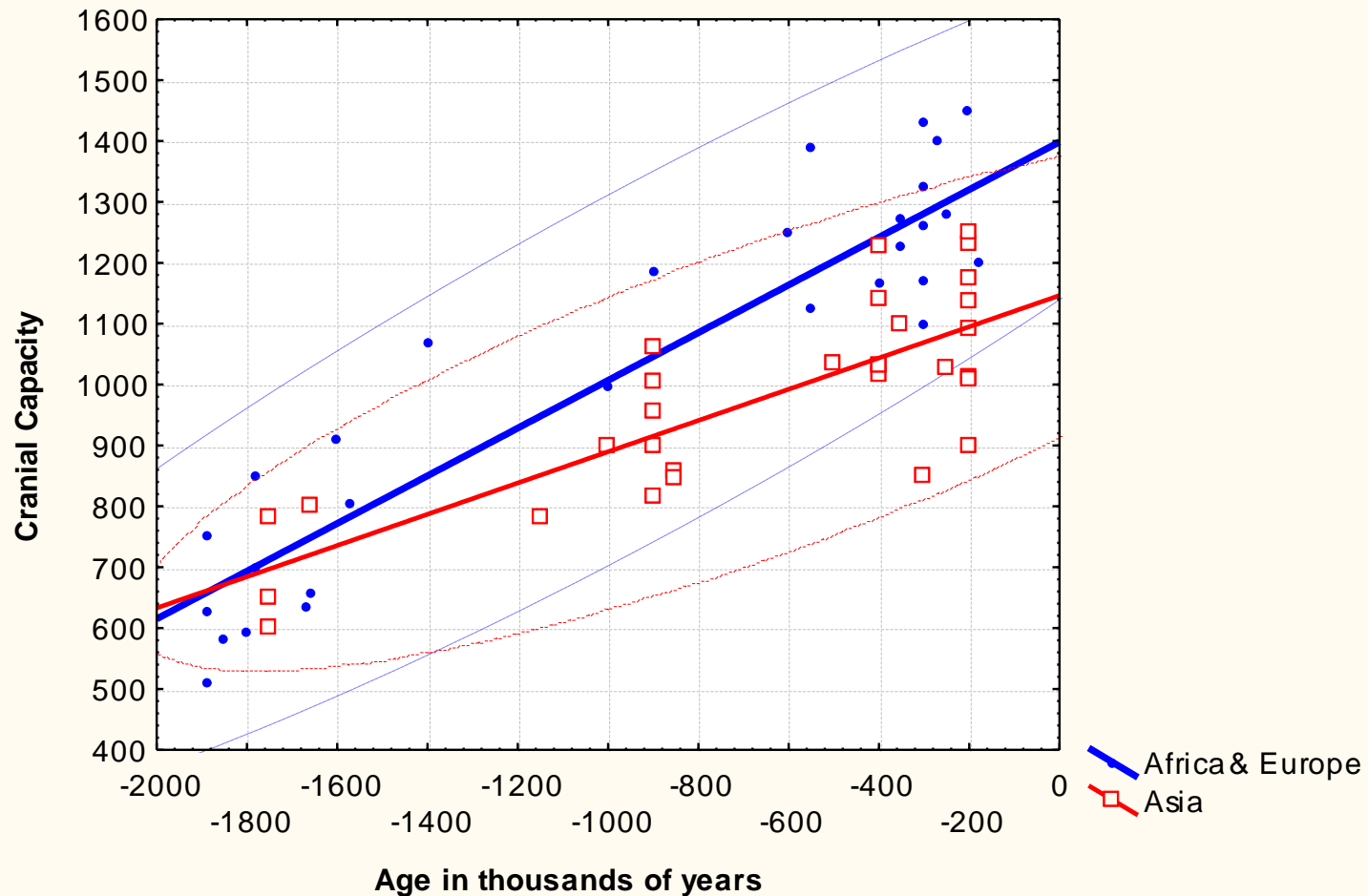
- Výzkumy metabolických drah a humorálních a protistresových mechanismů mimo jiné prokázaly, že neandrtálci měly jiný metabolismus vápníku.
- Výzkumy protistresových mechanismů ukázaly, že hladiny steroidních hormonů ovlivňují určité mechanismy chování.
- Snížená odolnost ke stresu může při dlouhodobém zatížení významně zhoršit zdravotní stav populace i její reprodukční schopnost.
- Výzkumy prořezávání zubů a ontogenetických změn skloviny hominidů prokazují, že pouze anatomicky moderní člověk má relativně dlouhé dětství zatímco všechny ostatní lidské formy, včetně neandrtálců, pohlavně dozrávali minimálně dva roky dříve.

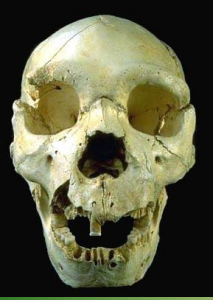
Regionální trendy v evoluci velikosti mozku rodu *Homo*

Evolution of Brain Size in genus *Homo*

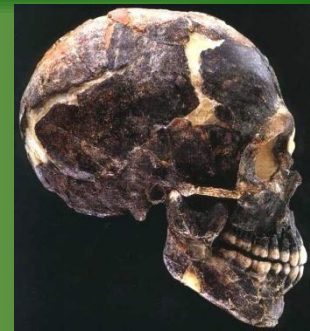
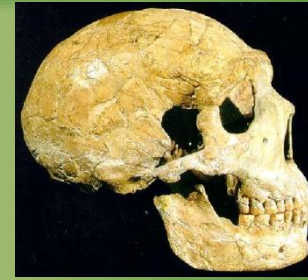
$$\text{Africa and Europe: } CC = 1398,4968 + 0,3917 * x$$

$$\text{Asia: } CC = 1146,2474 + 0,2566 * x$$





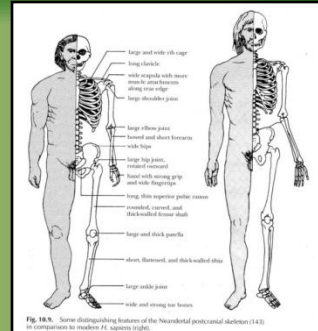
Geny a lidská evoluce



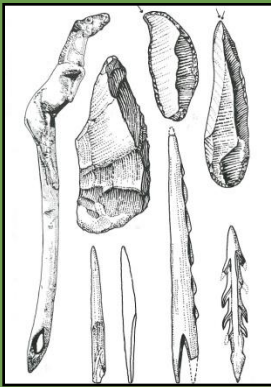
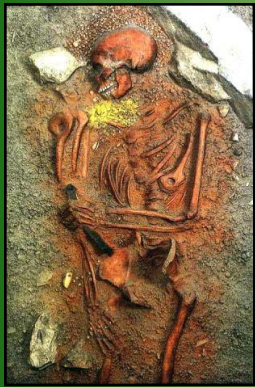
- Při vzniku prvních pokročilých lidských forem, *Homo heidelbergensis*, se uplatňovaly jak geny ovlivňující růst skeletu (HOX) tak růstu mozku (microcephaliny) a příslušné faktory regulační.
 - To se projevilo jak při přestavbě kostry, růstu mozku a i při rozvoji výroby nástrojů a komunikace.
 - Vliv microcephalinů se nejvíce projevil v období mladším 300 000 let, u společného předka neandrtálců a AMČ.
- V daleko vyšší míře se však tyto geny a regulační mechanismy uplatnily v průběhu risského zalednění, zhruba před 150 tisíci lety, kdy podle všeho došlo k bottleneck efektu a lidské populace se početně snížily na hranici přípustnou pro nutnou reprodukci.
 - V těchto malých populacích se začaly výrazně uplatňovat genetické mechanismy jako je genetický drift a founder efekt.
 - Výsledkem byl vznik dvou regionálně oddělených lidských skupin, neandrtálců a anatomicky moderního člověka, ve kterých se začaly uplatňovat jiné genetické a regulační mechanismy.



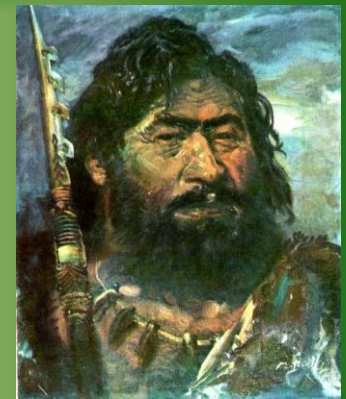
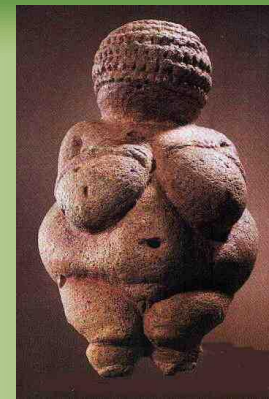
Genetické aspekty lidské diversity a variability



- U neandrtálců velmi pravděpodobně došlo k mutaci HOX genů a začala se uplatňovat funkce ACPI*A genu, která významně ovlivnila nárůst svalové hmoty a odolnost proti chladu. Působení genů ovlivňujících růst mozkové kůry se zřejmě v počátečních fázích významně nelišilo od anatomicky moderního člověka.
- U anatomicky moderního člověka se pak začaly ve zvýšené míře začalo uplatňovat působení genů ovlivňujících růst a restrukturalizaci mozkové a kvalitu jazyka a řeči (ASPM a MCPH1 microcephalin genů a FOXP2 genu).
 - Prodloužení pohlavního zrání a změn v růstu a ontogenezi bylo úzce spojeno v některými mutacemi v komplexu HOX genů a také se změnou mechanismů regulačních.
 - Prodloužení dětství znamenalo prodloužení periody využitelné k učení a rozvoji komunikace.
 - Významně se rozvíjely protistresové regulační mechanismy, které se stávaly stále více propojené s chováním a sociální strukturou a později zřejmě i s kulturou.



Geny, regulace a kultura u AMČ



- Tento komplex změn definitivně přeměnil anatomicky moderního člověka v důsledně biosociální bytost.
- Faktory biologické, sociální i kulturní se staly navzájem propojené prostřednictvím humorálního systému, činnosti mozku a percepce, chování a typicky lidské komunikace.
- To umožňovalo moderním lidem se postupně přizpůsobovat k nejrůznějším typům prostředí i stresům bez dalších biologických specializací.
- Proto přežíval mnohem úspěšněji než ostatní lidské formy.

Člověk nebo lidé?

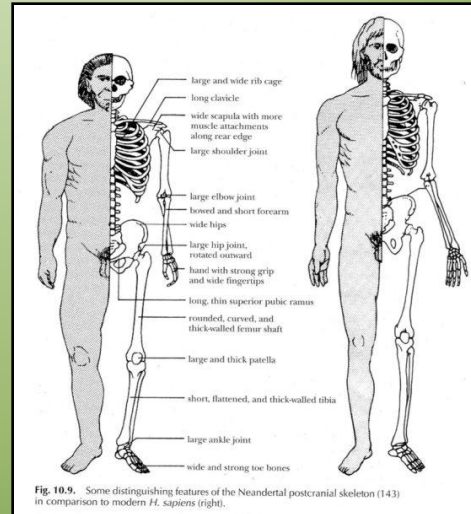
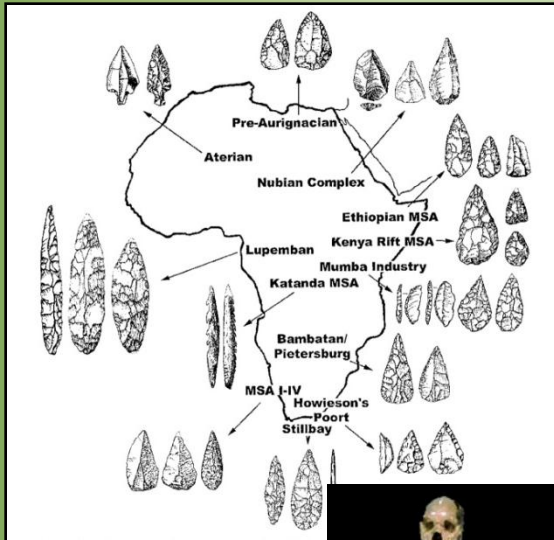


Fig. 10.9. Some distinguishing features of the Neanderthal postcranial skeleton (143) in comparison to modern *H. sapiens* (right).

